

討 6 E S R 工程における $\text{Ca}-\text{CaF}_2$ 融体による脱リン

新日本製鐵(株)基礎研究所 O 中村 泰, 德光直樹, 原島和海

1 緒 言

Ca 金属が溶鋼の良好な脱硫剤、脱酸剤であることはよく知られている。反応生成物は CaS , CaO である。熱力学データによると、 Ca の窒化物、リン化物(Ca_3N_2 , Ca_3P_2)は CaS , CaO と同様に安定な化合物である(表1参照)¹⁾。したがつて、 Ca によって溶鋼中の窒素やリンが除去できる可能性がある。しかしながら、固体 Ca またはその合金を溶鋼に直接添加しても、脱窒、脱リン反応を実現することは困難である。その理由は、 Ca の沸点が低い、溶鉄中の溶解度が低い、比重が小さいなどのために反応効率が悪いこと、反応生成物が溶鋼表面に安定して保持できいためである。今、液体の形で Ca が溶鋼と長時間接触させることができれば、上記の問題は解決されるであろう。 Ca の沸点以上で液体 Ca を形成させる方法は、(1)高圧容器の使用、(2)金属 Ca を含む安定なフラックスの使用の二通りがある。本報告は後者について検討した結果である。

CaF_2 の融点以上の温度域では、 Ca は CaF_2 融体に溶解して溶液を形成する²⁾。この溶液の Ca 蒸気圧は、 Ca 濃度を低くしていくと純 Ca の場合に比べてかなり低くなる。したがつて、 $\text{Ca}-\text{CaF}_2$ 融体は Ca の激しい蒸発損失なしに溶鋼と接触させることができる。そこで、18% Cr-8% Ni 鋼を主として、この $\text{Ca}-\text{CaF}_2$ 融体による溶鋼の精錬効果を研究することにした。 $\text{Ca}-\text{CaF}_2$ 融体は、 MgO や Al_2O_3 のごとき耐火物を強く侵すので、その心配のない E S R (Electro-Slag Refining) 工程のフラックスとして使用して実験を行なつた。なお、説明の都合上、 $\text{Ca}-\text{CaF}_2$ 融体による精錬法を M S R (Metal bearing Solution Refining) と以下では略記する。

2 実 験

使用した実験装置は、小型 E S R 炉で溶解量は最大 7 Kg である。電源は 100 KVA, 50 Hz である。鋳型は水冷銅鋳型で、内径 70 mm である。炉の特長は、再溶解される電極を含めて炉内がアルゴン雰囲気でできることである。したがつて再溶解中にガスによる酸化反応は实际上起きていないとみてよい。実験は次のように三通りに分れる。

(1) Ca の精錬効果

(a) Exp. A, B (M S R) : 電極は市販 SUS 304 丸棒から切り出したものと

(Exp. A) 真空溶解炉で各種不純物元素を含ませた 18% Cr-8% Ni-Fe 合金から作つたもの(Exp. B)の二本である。径は 40 mm である。電流、電圧を一定にして再溶解実験を行なつた。操作の手順は、通常の E S R と同一であるから省略する。フラックスは、 Ca 粒と CaF_2 粉末との混合物である。 Ca は 99% 以上の純度、 CaF_2 は化学試薬級のもので、特に P の低いものを選んだ。フラックスは初期装入のほかに手操作で再溶解中に連続的に供給した。実験条件の詳細は表 2 に示してある。電極成分は表 3 に示してある。実験終了後、生成した鋼塊の縦方向三カ所から試料を採取し化学分析を行なつた。

(b) Exp. C (E S R) : 上記の実験と比較するために CaF_2 単味の E S R 実験を行なつた。電極は Exp. B で使用した電極と同一成分のものである。溶解速度も同一にした。その他の条件

表 1 生成熱
(Kcal/mol at
298 °K)

| | ΔH_f |
|-------------------------|--------------|
| CaO | -152 |
| CaS | -115 |
| Ca_3N_2 | -103 |
| Ca_3P_2 | -120 |
| CaC_2 | -15 |

は表2に示した。

(2) 実験後のフラックスと水との反応

M S R 後の鋼塊頭部に残留したフラックスは、室温の水と反応して臭氣のあるガスを発生する。発生したガスは赤外吸収スペクトル法でその成分の同定を行なつた。

(3) M S R の脱リン率 (Exp. D)

Ca ICより脱リンが可能であることが判明したので、反応条件と脱リン率との関係を定量的に調査することにした。電極は真空溶解で製造した 18% Cr - 8% Ni - Fe 合金で、P 含有量を変化させている (0.01% ~ 0.038%)。装置は前記のものとほとんど同一であるが、定量的にフラックスを供給できる装置が附属している点が異なる。再溶解中はスラグ・プールの重量、Ca 濃度が一定になるようにフラックスを連続供給した。溶解終了直後に溶融フラックスを吸上採取し、(Ca), (P) の分析試料とした。操作条件は、溶解速度を一定としフラックス重量 (400 ~ 600 g), 初期 Ca 濃度, Ca の添加量, 電極リン濃度を変更した。

表2 実験条件

| | Exp. A, B | Exp. C | Exp. D |
|---|-----------------------------|--------|-----------------------|
| 電圧(V) | 12 | 20 | 11 ~ 15 |
| 電流(A) | 2450 | 1000 | 1170 ~ 2450 |
| 溶解速度(g/min) | 163 | 158 | 140 ~ 165 |
| 初期フラックス, Ca, CaF ₂ (g) | 14,336 | 0,400 | 8 ~ 20, 380 ~ 570 |
| 連続供給 Ca, CaF ₂ (g/min) | 1.0, 5 (10分) 0.3, 5 (以後) | —, — | 0.19 ~ 0.5, 3.4 ~ 6.1 |

3 実験結果と考察

3.1 Ca の精錬効果³⁾

鋼塊中央部の分析値が表3に示してある。M S R ではO, S のほかN, P, As があきらかに除去されていることが分る。これに対して CaF₂ 単味の E S R では、O が減少している以外は S, N, P, As の減少はほとんど認められない。この比較から CaF₂ 中の Ca が N, P の除去に重要な役割りを果していると結論できる。しかも、その除去率は非常に高いといえる。Exp. A の場合、通常のステンレス鋼のレベルから極低レベルまで N, P が低下している。除去率にして 58%, 88% になる。また、先に熱力学データから期待したようIC S, P が同時に除去できる点が特長である。しかし、鋼塊中の Ca 濃度が増加する欠点もある。

3.2 フラックス/メタル分配比⁴⁾

Exp. D の実験結果が図1にまとめて

表3 実験結果

単位 ppm

ある。縦軸は脱リン率, (η) の対数で、電極リン濃度を [%P]₀, 鋼塊リン濃度を [%P] とすると $\eta = 1 - [\%P]/[\%P]_0$ である。横軸は時間 t までに生成した鋼塊重量 (W) とスラグ重量 (Ws) の比である。Ca - CaF₂ 融体中の Ca 濃度が一定の場合実験点は概略直線で示すことがで

| | Ca | O | S | N | P | As |
|--------------|----|-----|---------|-----|--------|---------|
| Exp. A 電極 | — | 75 | 80 | 356 | 240 | 80 |
| | 鋼塊 | — | — | 15 | 149 | 30 < 20 |
| Exp. B 電極 | 20 | 210 | 130 | 86 | 30 | 52 |
| | 鋼塊 | 110 | 40 < 50 | 33 | 5 < 20 | |
| Exp. C 電極 | 10 | 80 | 130 | 80 | 35 | 56 |
| 鋼塊 | | | | | | |

きる。これは次のように説明できる。

『再溶解速度、Ca濃度一定の場合、脱リン反応はある一定のフラックス／メタルのみかけの分配比に左右され、こうして進行する』

みかけの分配比(K)は、フラックス中のP濃度を(%P)とすると、 $K = (%P)/(%P_f)$ である。 K が一定とすると、物質収支の式から \mathcal{N} は次のようになる。

この考え方を裏づけるものとして、実際溶融フラックス中の(%)P)を分析で求め、鋼塊の分析値(%)P)との比較からKを求めた値が表4に示してある。(%)Ca)一定の場合、ほぼ実測のKが一定であることが分る。

次に K が ($\% Ca$) とどうな関数関係になるかを検討したのが図 2 である。これより近似的に K は次のようになる。

図2から分るよう(%Ca)が1%高くなると、分配比が大きく変化することが分る。(%Ca)が1~2%の範囲では実際上脱リンはわずか起きる程度であるが、5~6%になると分配比は55~75にも上昇する。しかし、再溶解に必要を電力も上昇する。

図2に他の鋼種の実験点も記してある⁵⁾。類似の傾向にあることが分る。すなわち、MSRによる脱リンは鉄ベースの合金には広く適用できるものと考えられる。

表4 塞測したみかけの分配比

| | | | | | |
|---------------------|-----|-----|-----|-------|-----|
| (% Ca) | 4.8 | 4.4 | 4.7 | (4.7) | 5.0 |
| (% P) $\times 10^2$ | 39 | 18 | 41 | 10 | 30 |
| (% P) $\times 10^4$ | 62 | 31 | 89 | 20 | 54 |
| K | 63 | 58 | 46 | 50 | 56 |

3.3 脱リン反応の推定

M S R 実験に使用したフラックスから発生するガスは、赤外吸収スペクトルの解析から NH_3 , PH_3 , AsH_3 であることが判明した。この結果から推定できることは

M S R 後冷却したフラックス中には Ca_3N_2 , Ca_3P_2 , Ca_3As_2 が存在する。これらは水と反応してガスを発生する ($\text{Ca}_3\text{P}_2 + 3\text{H}_2\text{O} = 3\text{CaO} + 2\text{PH}_3$)。この推論は P は Ca と直接作用し合うが、他の物質（たとえば酸素）は反応に関与していないことを意味する。しかし、再溶解中に Ca_3P_2 が単独の相として存在していたとはみられない。脱リン率がフラックス中の Ca, P 濃度に依存するからである。脱リン反応は次の反応式で進

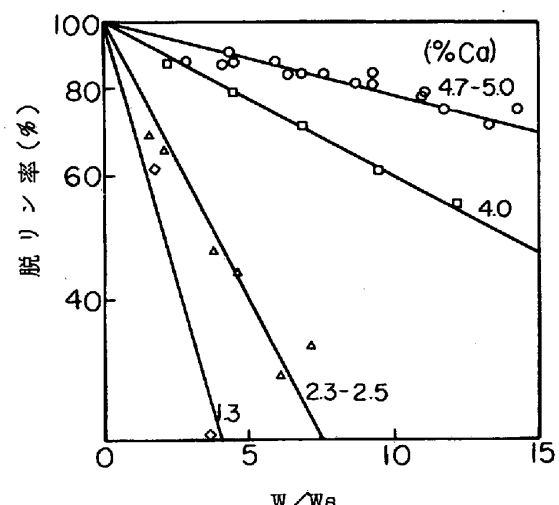


図1 再溶解の進行にともなう脱リン率の変化

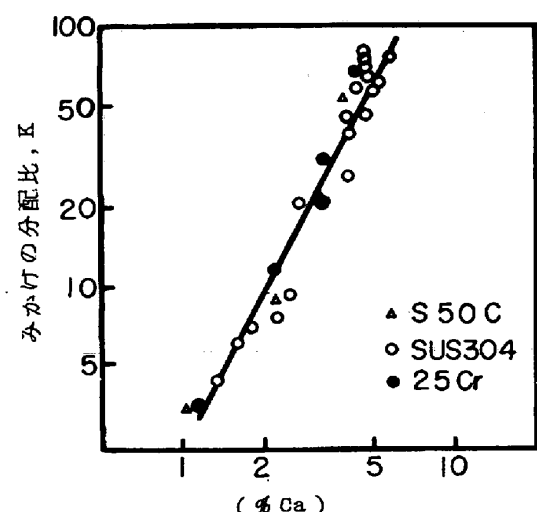
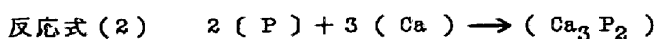


図2 リンの分配比と(%Ca)との関係

行しているものと考えられる。



ここで、[]、()は溶鋼中および $\text{Ca}-\text{CaF}_2$ 融体中の状態を示す。どちらであるかは断定できない。

いずれにせよ、この脱リンの原理は酸化状態の塩基性スラグで進行する通常の脱リン反応とは全く異なる形式である。また、Dunn Jr.⁶⁾が、Caが溶け落ち時に脱リンを促進させることを説明した反応機構とも異なる。

4 結 語

MSRはO, Sと同時にPが除去できる新脱リン方法である。高純度鋼の製造に適している方法といえる。特にステンレス鋼は、従来法では実際上ほとんど脱リン不可能であつた。この点でMSRは極低リン・ステンレス鋼を製造する有力な手段になるであろう。本報告では反応効率のよいESR法でCaの脱リン効果を確認することができた。しかし、原理的には他の炉でも実現できるはずである。

一般にアルカリ土類金属(Mg, Ca, Ba)はPとの親和力が大きく、それらのハライド(F, Cl, Br)の融体中に溶解させることもできる(溶解度の大小はあるが)。今後、このような金属溶液による鋼中の不純物元素除去法を進展させていくことが、学術上、工業上重要な課題になるであろう。

文 献

- 1) Selected Values of Chemical Thermodynamic Properties : NBS-500 (1961)
- 2) P. S. Rogers, J. W. Tomlinson and F. D. Richardson : Proc. Intern. Symp. on Phys. Chem. Process Met. P.909 (Interscience, New York, 1961).
- 3) 中村, 徳光, 原島, 濑川 : 鉄鋼協会89回講演大会, 鉄と鋼, 61(1975), S 137.
- 4) 中村, 徳光, 原島 : 鉄鋼協会90回講演大会, 鉄と鋼, 61(1975), S 488.
- 5) 徳光, 原島, 中村 : 鉄鋼協会91回講演大会発表予定
- 6) E. J. Dunn : Elect. Furn. Proc. (1971), 122.